

Исследование способов согласования моделей с помощью снижения размерности пространства

Яушев Фарух Рамильевич

Московский физико-технический институт
Факультет управления и прикладной математики
Кафедра интеллектуальных систем

Консультант Р. Исаченко
Научный руководитель д.ф.-м.н. В. В. Стрижов

Москва
2020 г

Задача

Построить модель прогнозирования целевой переменной в пространстве высокой размерности

Проблема

Исходные данные имеют избыточную размерность. Зависимости в пространствах целевой и независимой переменных приводит к неустойчивости модели.

Метод решения

Построить модель, учитывающую структуру пространств независимой и целевой переменных с согласованием скрытых представлений.

Данные

Дана выборка (\mathbf{X}, \mathbf{Y}) , где $\mathbf{X} = [\mathbf{x}_1, \dots, \mathbf{x}_n]^T \in \mathbb{R}^{n \times m}$ — матрица независимых переменных, $\mathbf{Y} = [\mathbf{y}_1, \dots, \mathbf{y}_n]^T \in \mathbb{R}^{n \times k}$ — матрица целевых переменных.

Предполагается, что между \mathbf{X} и целевой \mathbf{Y} существует зависимость

$$\mathbf{Y} = f(\mathbf{X}) + \varepsilon,$$

где $f : \mathbb{R}^{n \times m} \rightarrow \mathbb{R}^{n \times k}$ — функция регрессионной зависимости, ε - матрица регрессионных ошибок.

В качестве функции ошибки используется

Необходимо воостановить зависимость f по заданной выборке.

В качестве базового алгоритма используется PLS (Projection to Latent Space)

PLS — алгоритм для восстановления связи между двумя наборами данных \mathbf{X} и \mathbf{Y} . Алгоритм проецирует \mathbf{X} и \mathbf{Y} на латентное пространство \mathbb{R}^p меньшей размерности. PLS находит матрицы исходных данных \mathbf{X} и \mathbf{Y} в латентном пространстве \mathbf{T} и \mathbf{U} соответственно. Матрица объектов \mathbf{X} и целевая матрица \mathbf{Y} проецируются на латентное пространство следующим образом:

$$\underset{n \times m}{\mathbf{X}} = \underset{n \times p}{\mathbf{T}} \cdot \underset{p \times m}{\mathbf{P}} + \underset{n \times m}{\mathbf{F}}, \quad (1)$$

$$\underset{n \times k}{\mathbf{Y}} = \underset{n \times p}{\mathbf{U}} \cdot \underset{p \times k}{\mathbf{Q}} + \underset{n \times k}{\mathbf{E}}, \quad (2)$$

где \mathbf{T} и \mathbf{U} — матрицы описания объектов и исходов в латентном пространстве; \mathbf{P} и \mathbf{Q} — матрицы перехода из латентного пространства в исходное; \mathbf{F} , \mathbf{E} — матрицы остатков.

Определение 1

Параметрическая функция $\varphi_1 : \mathbb{R}^{n \times m} \rightarrow \mathbb{R}^{n \times p}$, переводящая исходные данные в латентное пространство, называется **функцией кодирования**.

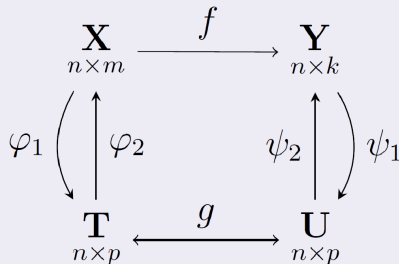
Определение 2

Параметрическая функция $\varphi_2 : \mathbb{R}^{n \times k} \rightarrow \mathbb{R}^{n \times p}$, переводящая данные из латентного пространства в исходное, называется **функцией восстановления**.

Определение 3

Функция $g : \mathbb{R}^{n \times p} \times \mathbb{R}^{n \times p} \rightarrow \mathbb{R}$, связывающая два низкоразмерных латентных представления, называется **функцией согласования**.

Общая схема



Оптимальные параметры $\theta_{\varphi_1}^*, \theta_{\psi_1}^*$ для функций кодирования φ_1 и ψ_1 находятся из следующей задачи параметрической оптимизации:

$$(\theta_{\varphi_1}^*, \theta_{\psi_1}^*) = \arg \max_{(\theta_{\varphi_1}, \theta_{\psi_1})} [g(\varphi_1(\mathbf{X}; \theta_{\varphi_1}), \psi_1(\mathbf{Y}; \theta_{\psi_1}))]. \quad (3)$$

После перехода в латентное пространство между \mathbf{T} и \mathbf{U} существует зависимость

$$\mathbf{U} = h(\mathbf{T}) + \boldsymbol{\eta},$$

где $h : \mathbb{R}^{n \times p} \rightarrow \mathbb{R}^{n \times p}$ — функция регрессионной зависимости, $\boldsymbol{\eta}$ — матрица регрессионных ошибок.

Оптимальные параметры для h выбираются минимизацией функции ошибки. Используем квадратичную функцию ошибки потерь \mathcal{L} на \mathbf{T} и \mathbf{U} :

$$\mathcal{L}(h|\mathbf{T}, \mathbf{U}) = \left\| \begin{matrix} \mathbf{U} \\ n \times p \end{matrix} - h \left(\begin{matrix} \mathbf{T} \\ m \times p \end{matrix} \right) \right\|_2^2 \rightarrow \min_h.$$

Финальная прогностическая модель имеет вид:

$$f = \psi_2 \circ h \circ \varphi_1.$$

Для того, чтобы показать, что игнорирование нелинейных зависимостей может привести к неудовлетворительным результатам проведем сравнение DeepССА и ССА на задаче классификации зашумленных цифровых изображений.

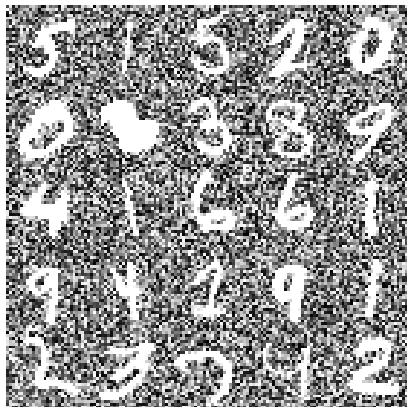
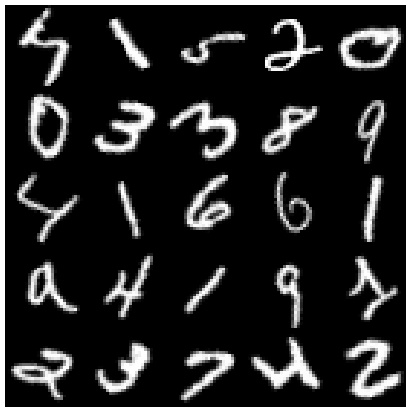


Рис.: Зашумленные изображения из набора данных MNIST

Канонический анализ корреляций (CCA)

Функция согласования:

$$g(\mathbf{X}\mathbf{w}_x, \mathbf{Y}\mathbf{w}_y) = \text{corr}(\mathbf{X}\mathbf{w}_x, \mathbf{Y}\mathbf{w}_y),$$

Функции кодирования:

$$\varphi_1(\mathbf{X}) = \mathbf{W}_x^T \mathbf{X}, \quad \psi_1(\mathbf{Y}) = \mathbf{W}_y^T \mathbf{Y},$$

Таблица: Получение нового признакового пространство размерности 15 с использованием DeepCCA и CCA. Показателем эффективности будет точность классификации линейного SVM (ACC).

	DeepCCA(L=3)	CCA
Validation data	92.74%	76.21%
Test data	92.14%	76.07%

Решается задача восстановления правой части изображения по левой.

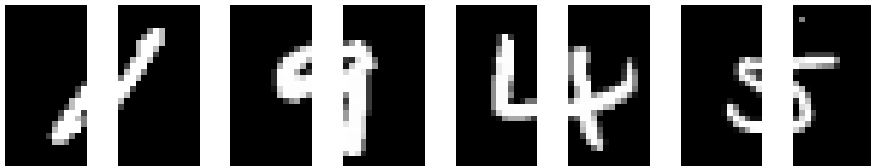


Рис.: Набор данных MNIST, каждое изображение в котором разделили пополам.

Таблица: Восстановление правой части изображения по левой с использованием различных моделей. Для измерения качества моделей считается среднеквадратическое отклонения от оригинального изображения.

	EncNet1	LinNet1	EncNet2	LinNet2	DumbNet	PLS
Кол-во весов	283k	239k	283k	239k	283k	-
MSE loss	0.147	0.235	0.149	0.236	0.128	0.188

